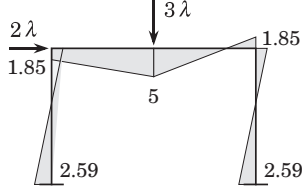
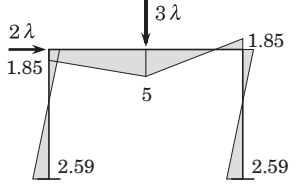
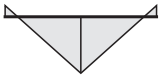
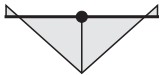
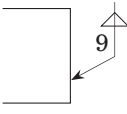
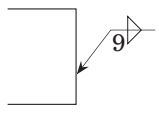


建築鋼構造 その理論と設計 正誤表

頁	箇所	誤	正
1-46	下から6行目	固有振動モード	固有モード
1-47	6行目	固有振動モード	固有モード
1-47	8行目	重量	質量
1-47	12行目	振動モード	固有モード
2-10	図2.15(b)右下の式	誤： $\frac{N_y^f - N^f}{2} d_f = \frac{d_f}{2} (2N_y^f + N_y^w - C)$	正： $\frac{N_y^f + N^f}{2} d_f = \frac{d_f}{2} (2N_y^f + N_y^w - C)$
2-46	図3.35(b)上図の式	$4.40\Delta\lambda_2 = 5.0 - 4.05$	$4.40\Delta\lambda_2 = 5.0 - 4.09$
2-46	図3.35(b)上図の左柱頭	$0.59\Delta\lambda_2$	$0.19\Delta\lambda_2$
2-47	2行目	0.217	0.207
2-51	図4.1 左柱の網掛け		
2-56	下から3行目	線型補間	線形補間
2-64	16行目	線型計画問題	線形計画問題
2-68	下から3行目	図5.4	図5.8
2-85	最下行; W_{ex} の式2行目	誤： $H_r(\delta_r + \dots + \delta_r) + \dots + H_N(\delta_r + \dots + \delta_r)$	正： $H_r(\delta_q + \dots + \delta_r) + \dots + H_N(\delta_q + \dots + \delta_r)$
2-126	表5.7 Dの右図 塑性ヒンジ		
2-127	下から8行目	微量	微量
2-164	12行目	$R_0 \leq r \leq a$	$R_0 \leq r \leq \rho$
2-178	下から1行目	$F_2 w_0 = W_{FL} + W_{HL}$	$F_2 w_0 = 2W_{FL} + W_{HL}$
2-179	1行目数式	$F_2 = 4M_0 \{ \pi + \frac{4}{\pi} (\log_e k)^2 + 2k \}$	$F_2 = 2M_0 \{ \pi + \frac{4}{\pi} (\log_e k)^2 + 2k \}$
2-179	参考文献7.1	pp.99-101	pp.38-45
3-19	下から6行目	80)式	(2.80)式
3-21	下から7行目	点線で示される	細実線で示される
3-23	(2.102)式	$\dots = E$	$\dots = EI_y \left(\frac{A}{A} \right)^3$
3-29	(3.11)式	$s = \frac{(\sinh \alpha - \alpha \cosh \alpha) \alpha}{2(1 - \cosh \alpha) - \alpha \sinh \alpha}$	$s = \frac{(\sinh \alpha - \alpha \cosh \alpha) \alpha}{2(\cosh \alpha - 1) - \alpha \sinh \alpha}$
3-50	図5.3	r	R
3-53	下から5行目	(5.14)式は...	(5.15)式は...
3-58	図5.15 キャプション	曲げ振れ座屈	弾性横座屈
3-67	(6.30)式	$\frac{b}{a} = \dots$	$\frac{a}{b} = \dots$
4-18	(2.24a)式	$M_c = (1 - 0.4 \frac{\lambda_b - p \lambda_b}{e \lambda_b - p \lambda_b}) M_p$	$M_c = (1 - 0.4 \frac{\lambda_b - p \lambda_b}{e \lambda_b - p \lambda_b}) M_y$

頁	箇所	誤	正
4-19	(2.24b)式	$M_c = \frac{1}{\lambda_b^2} M_p$	$M_c = \frac{1}{\lambda_b^2} M_y$
4-36	上から3行目	(2.47)式	(2.42)式
4-37	下から1行目	$M_1^{cr} = 595 \text{ kN}\cdot\text{m}$	$M_1^{cr} = 722 \text{ kN}\cdot\text{m}$
4-37	図 2.44		
4-38	4行目	$\frac{M_1}{M_c} \leq 0.827$	$\frac{M_1}{M_p} \leq 0.827$
4-41	3行目釣合式	誤： $\int_{y_0}^{y_1} (\sigma + d\sigma) y b(y) dy - \int_{y_0}^{y_1} \sigma b(y) dy = \int_{y_0}^{y_1} d\sigma y b(y) dy$ 正： $\int_{y_0}^{y_1} (\sigma + d\sigma) b(y) dy - \int_{y_0}^{y_1} \sigma b(y) dy = \int_{y_0}^{y_1} d\sigma b(y) dy$	
4-45	表 2.5 ◇と○の欄	$p M_{yn}$	$p M_{pn}$
4-54	図 3.6(b) 梁下フランジ開先の向き スラップの形状		
4-55	図 3.7	裏当金	裏当て金
4-64	下から3行目文献番号	3.4)	3.5)
4-70	図 3.42(a) 左の溶接記号		
4-72	下から3行目文献番号	3.21)	3.23)
4-74	下から5行目文献番号	3.20)	3.21)
4-96	(3.56)式右辺	$\frac{(2a+b)M_u}{n a b}$	$\frac{2(2a+b)M_u}{n a b}$
4-99	(a)の下1行目	設計条件[5]	設計条件[4]
4-99	図 3.85 左図	2PL - 380 × 210 × 9	2PL - 390 × 210 × 9
4-110	文献 3.20)	柱梁接合辺	柱梁接合部
4-111	問題 4-3 (1)	図 E4.3	図 E4.3(a)
4-111	問題 4-3 (2)	図 E4.4	図 E4.3(b)
4-112	問題 4-3 図番号	図 A4.3	図 E4.3

頁	箇所	誤	正
5 - 26	(4.14)式右辺	誤: $= [M] (\{\ddot{u}_t\} + \frac{4}{\Delta t} \{\dot{u}_t\}) + \{F_{H,t+\Delta t}\} + \{F_{V,t+\Delta t}\} + \{P_{con}\} - \{P_{in,t}\}$ 正: $= [M] (\{\ddot{u}_t\} + \frac{4}{\Delta t} \{\dot{u}_t\}) + [C] \{\dot{u}_t\} + \{F_{H,t+\Delta t}\} + \{F_{V,t+\Delta t}\} + \{P_{con}\} - \{P_{in,t}\}$	
解答 - 17	図 A4.5 右端の記号		
索引 - 2	左下から 2 行目	固有円振動数	固有円振動数
索引 - 5	モール(Mohr)の定理	3 - 31	2 - 31
索引 - 5	レ形開先	レ形開先 5	レ形開先